

## 实验 3 - 10 : R L C 电路的稳态特性

在交流电或电子电路的研究中,常需要通过电阻、电感、电容元件不同组合的电路,用来改变输入正弦信号和输出正弦信号之间的相位差,或构成放大电路、振荡电路、选频电路、滤波电路等,因此,研究 RLC 电路及其过程,在物理学、工程技术上都很有意义。本实验着重研究 RC、RL 和 RLC 电路的稳态特性。

### 实验目的

- 1、通过观测、分析 RLC 串联电路中的相频和幅频特性,以便理解和具体应用此特性。
- 2、进一步学习使用双踪示波器进行相位差的测量。

### 实验仪器

正弦信号发生器,真空管毫伏表 GB-9,CS-4125 双踪示波器,R,L,C

### 实验原理

描述任何一个正弦交流量,都可以由三个参数确定。这三个参数是振幅、频率(或角频率或周期,它们之间的关系为  $\omega = \frac{2\pi}{T} = 2\pi f$ ) 以及相位。例如

$$\text{交变电动势} \quad e(t) = E \cos(\omega t + \varphi_e)$$

$$\text{交变电压} \quad v(t) = V \cos(\omega t + \varphi_v)$$

$$\text{交变电流} \quad i(t) = I \cos(\omega t + \varphi_i)$$

$E$ 、 $V$ 、 $I$  分别为交流电动势、电压和电流的峰值。在实际应用中,几乎所有的交流电表都是按正弦信号的有效值来标度的。正弦交流电的有效值与峰值之间的关系为:有效值等于峰值的  $\frac{1}{\sqrt{2}}$ , 例如  $V_{\text{有效}} = \frac{1}{\sqrt{2}} V$ ,  $\omega t + \varphi$  称为相位,  $\varphi$  称为初相位。正弦电压、电流之间除了存在量值大小不同之外,还存在着相位差。所以与直流电路不同,在交流电路中,电压、电流峰值(或有效值)之比,称为阻抗

$$Z = \frac{V}{I} = \frac{V_{\text{有效}}}{I_{\text{有效}}}$$

另一个是二者相位之差  $\varphi = \varphi_V - \varphi_i$

Z 和  $\varphi$  两个量就代表着元件本身的特性。

对电阻元件，阻抗  $Z_R=R$ ， $\varphi=0$ ，说明电阻上电压与电流同相位，其阻抗  $Z_R$  就是电阻值 R。

对电容元件，容抗  $Z_C=\frac{1}{\omega C}$ ， $\varphi=-\frac{\pi}{2}$ ，说明容抗是与频率和电容器的容量成反比的，频率越高、电容器的容量越大，则容抗越小。在电容器上，电压的相位落后电流相位  $\frac{\pi}{2}$ 。

对电感元件，感抗  $Z_L=\omega L$ ， $\varphi=\frac{\pi}{2}$ ，说明感抗是随频率线性增长的，并正比于电感 L，在电感上，电压的相位超前电流相位  $\frac{\pi}{2}$ 。

以上分析说明，电容、电感的元件特性均与频率有关，且具有相反的性质，而电阻介于两者之间。本实验主要研究 RC 和 RL 串联电路中电压值随频率变化的规律（称幅频特性），电压与电流间的相位差随频率变化的规律（称相频特性）以及 RLC 串联电路的相频特性。

### 1、RC 串联电路的幅频特性和相频特性

RC 串联电路如图 3-10-1 (a) 所示，由于交流电路中的电压和电流不仅有大小变化而且还有相位差别，因此常用复数或矢量法来研究，由复电压 ( $\tilde{U}$ ) 与复电流 ( $\tilde{I}$ ) 之比得到的阻抗也是复数即复阻抗 (Z)。RC 电路的复阻抗为

$$z = R - j\frac{1}{C\omega} = \sqrt{R^2 + \left(\frac{1}{C\omega}\right)^2} e^{-\frac{1}{C\omega R}j} \quad (3-10-1)$$

其阻抗幅值为  $|z| = \sqrt{R^2 + \left(\frac{1}{C\omega}\right)^2} \quad (3-10-2)$

由于电阻值和频率无关，电阻两端电压与电流同相位，若用矢量求解法则应以电流为参考矢量，作  $U_R$ 、 $U_C$  及其合成的总电压 U 的矢量图，如图 3-10-1 (b) 所示。

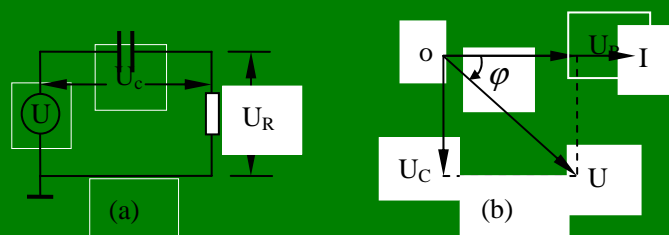


图 3-10-1 RC 串联电路、相位图

总电压

$$U = \sqrt{U_R^2 + U_C^2} = I \sqrt{R^2 + \left(\frac{1}{C\omega}\right)^2} \quad (3-10-3)$$

U 落后于 I 的相位

$$\varphi = \arctg^{-1} \frac{1}{C\omega R} \quad (3-10-4)$$

R 两端电压

$$U_R = U \cos \varphi = \frac{UR}{\sqrt{R^2 + \left(\frac{1}{C\omega}\right)^2}} = \frac{URC\omega}{\sqrt{1 + (RC\omega)^2}} \quad (3-10-5)$$

C 两端电压

$$U_C = U \sin \varphi = \frac{U}{\sqrt{1 + (RC\omega)^2}} \quad (3-10-6)$$

根据 (3-10-2) 式可画出  $|Z| - \omega$  曲线, 如图 3-10-2 (a) 所示, 当  $\omega \rightarrow 0$  时,  $|Z_R| = R$ ,  $|Z_C| \rightarrow \infty$ ,  $|Z| \rightarrow \infty$ ; 当  $\omega \rightarrow \infty$  时,  $|Z_R| = R$ ,  $|Z_C| = \frac{1}{C\omega} \rightarrow 0$ ,  $|Z| \rightarrow R$ , 综上所述可知:

(1) 总阻抗在低频时趋于无穷大, 在高频时趋于 R 值, 反映了电容具有“高频短路、低频开路”的性质。

(2) 根据 (3-10-4) 式可画出  $\varphi - \omega$  曲线, 如图 3-10-2 (b) 所示,  $\varphi$  表示 RC 串联电路中的总电压落后于电流的相位,  $\varphi$  随  $\omega$  的增加逐渐趋于零, 随  $\omega$  减小逐渐趋于  $-\frac{\pi}{2}$ , 利用相频特性可组成各种相移电路。

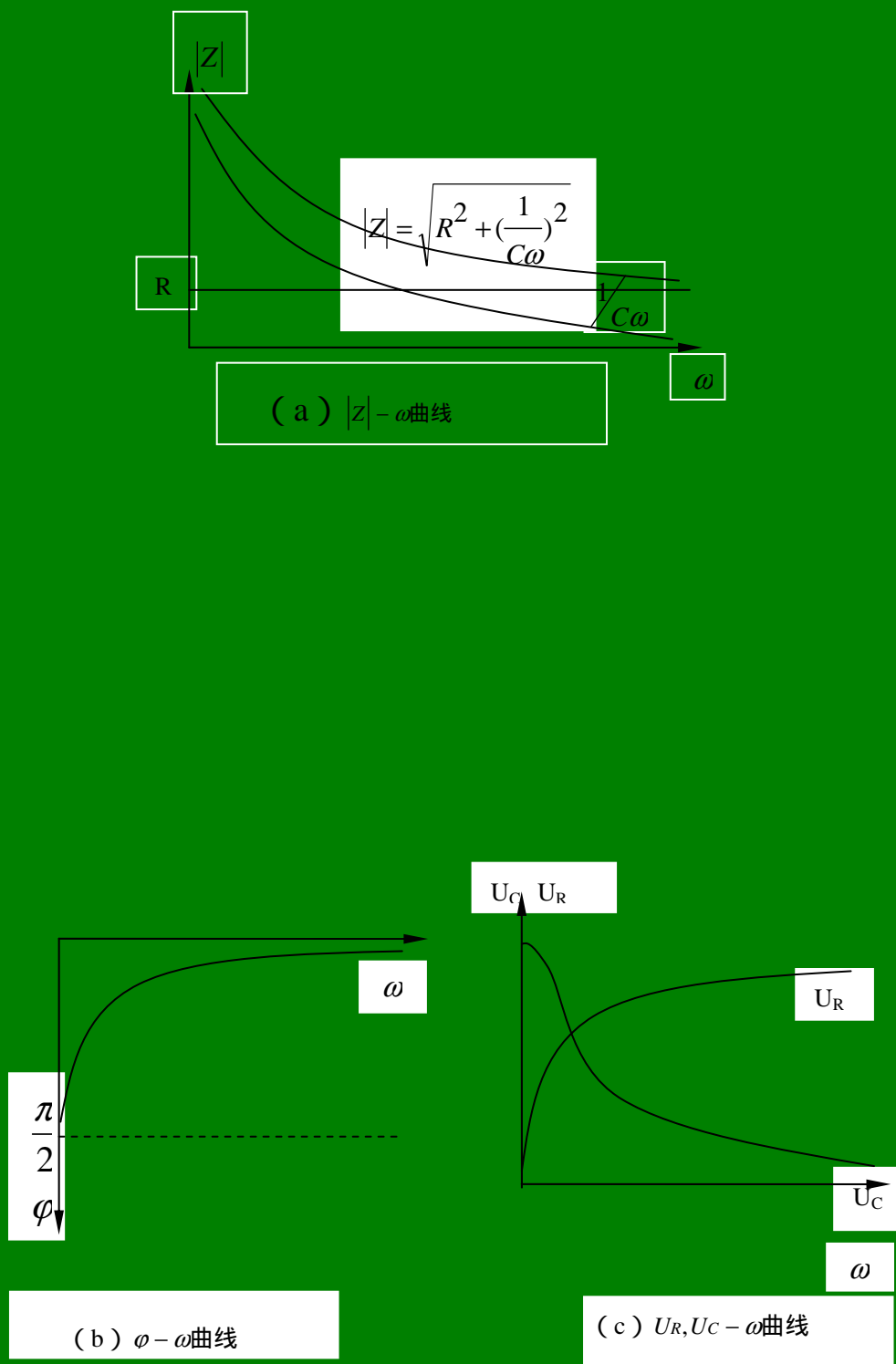


图 3-10-2 RC 串联电路幅频和相频曲线图

(3) 若总电压  $U$  保持不变, 根据 (3-10-5) (3-10-6) 式可画出  $U_C, U_R - \omega$  曲线, 即幅频特性曲线, 如图 3-10-2 (c) 所示,  $U_C$  与  $U_R$  随  $\omega$  的变化正好相反, 由 (3-10-6) 式可知, 在低频时总电压主要降落在电容器两端, 高频时总电压主

要降落在电阻两端，利用幅频特性可把各种频率分开，组成各种滤波电路。

## 2、RL 串联电路的幅频特性和相频特性

RL 电路如图 3-10-3 (a) 所示

$$\text{复阻抗} \quad Z = R + jL\omega = \sqrt{R^2 + (L\omega)^2} e^{j\frac{L\omega}{R}} \quad (3-10-7)$$

$$\text{阻抗幅值} \quad |Z| = \sqrt{R^2 + (L\omega)^2} \quad (3-10-8)$$

$$\text{总电压} \quad U = \sqrt{U_R^2 + U_L^2} = I\sqrt{R^2 + (L\omega)^2}$$

从矢量图解 (如图 3-10-3 (b) 所示) 可看出，总电压  $U$  超前于  $I$ ，

$$\text{相位差} \quad \varphi = \arctg \frac{L\omega}{R} \quad (3-10-9)$$

$$\text{R 两端电压} \quad U_R = U \cos \varphi = \frac{UR}{\sqrt{R^2 + (L\omega)^2}} \quad (3-10-10)$$

$$\text{L 两端电压} \quad U_L = U \sin \varphi = \frac{UL\omega}{\sqrt{R^2 + (L\omega)^2}} \quad (3-10-11)$$

综上所述：

- (1) RL 串联电路的阻抗随频率增加而增加，反之减小。

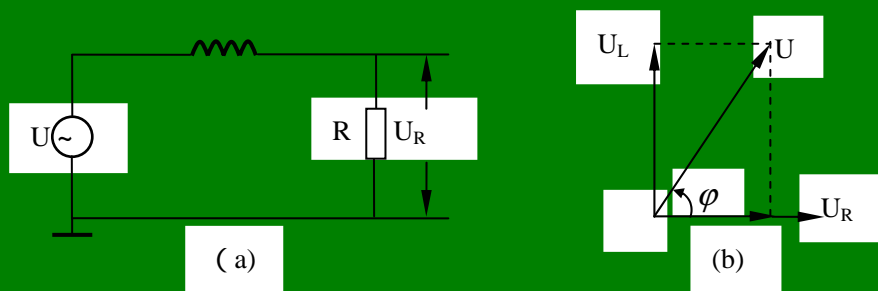


图 3-10-3 RL 串联电路图

(2) 根据 (3-10-9) 式，说明总电压的相位始终超前于电流的相位，相位差随频率的增加而逐渐增加，高频时相位差趋近于  $+\frac{\pi}{2}$ ，同样利用 RL 的相频特性的也可以构成各种相移电路，见图 3-10-4

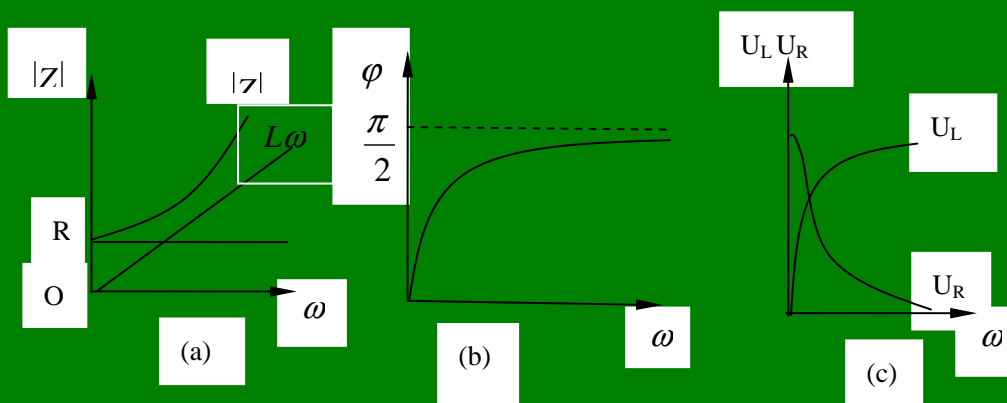


图 3-10-4 RL 串联电路的幅频、相频特性曲线图

(3) 若总电压维持不变,  $U_L$  与  $U_R$  随  $\omega$  的变化趋势正好相反, 低频时电压主要降落在电阻两端, 高频时电压主要降落在电感两端, 这说明电感具有“高频开路, 低频短路”的性质, 利用 RL 幅频特性也可组成各种滤波器。

### 3、RLC 串联电路的相频特性

RLC 串联电路如图 3-10-5 所示。

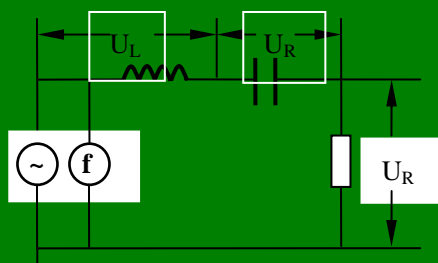


图 3-10-5 RLC 串联电路图

复阻抗

$$Z = R + j\left(L\omega - \frac{1}{C\omega}\right) = \sqrt{R^2 + \left(L\omega - \frac{1}{C\omega}\right)^2} e^{j\varphi}$$
$$\varphi = \arctg \frac{L\omega - \frac{1}{C\omega}}{R} \quad (3-10-12)$$

现分下列三种情况讨论：

(1) 当  $\omega L = \frac{1}{C\omega}$  时,  $\varphi = 0$ , 总电压与电流同相位, 电路中阻抗最小, 呈纯电阻, 此时电路中电流达到最大值, 称为串联谐振现象, 谐振频率为

$$f_0 = \frac{1}{2\pi\sqrt{LC}} \quad (3-10-13)$$

(2) 当  $\omega L - \frac{1}{C\omega} > 0$ , 电路呈电感性,  $\varphi > 0$ , 表示总电压的相位超前于电流的相位, 随  $\omega$  增大  $\varphi$  趋于  $\frac{\pi}{2}$ 。

(3) 当  $\omega L - \frac{1}{C\omega} < 0$ , 电路呈电容性,  $\varphi < 0$ , 表示总电压的相位落后于电流的相位, 随  $\omega$  减小  $\varphi$  趋于  $-\frac{\pi}{2}$ 。三种情况矢量图解如图 3-10-6 (a) (b) (c) 所示。

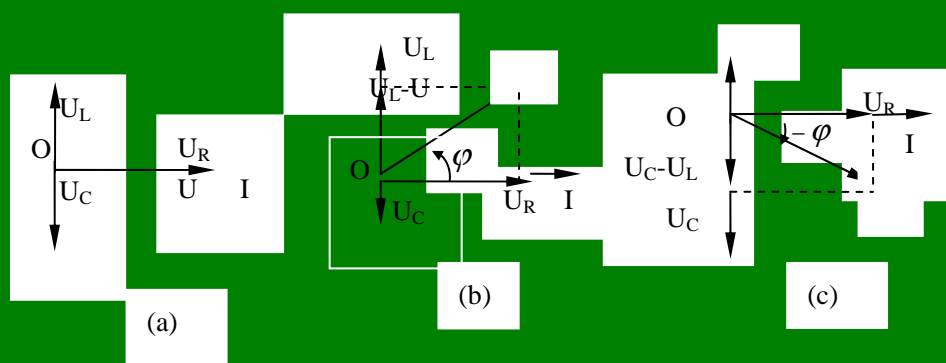


图 3-10-6 RLC 串联电路矢量图

$$\begin{aligned} \operatorname{tg} \varphi &= \frac{L\omega - \frac{1}{C\omega}}{R} = \frac{1}{R} \sqrt{\frac{L}{C}} \left( \sqrt{LC}\omega - \frac{1}{\sqrt{LC}\omega} \right) \\ &= \frac{1}{R} \sqrt{\frac{L}{C}} \left( \frac{\omega}{\omega_0} - \frac{\omega_0}{\omega} \right) \quad \left( \omega_0 = \frac{1}{\sqrt{LC}} \right) \end{aligned}$$

令  $Q = \frac{1}{R} \sqrt{\frac{L}{C}}$ ，即为 RLC 串联电路的品质因数。则

$$\operatorname{tg} \varphi = Q \left( \frac{\omega}{\omega_0} - \frac{\omega_0}{\omega} \right) = Q \left( \frac{f}{f_0} - \frac{f_0}{f} \right) \quad (3-10-14)$$

上式表示如以  $\left( \frac{f}{f_0} - \frac{f_0}{f} \right)$  为自变量  $x$ ，以  $\operatorname{tg} \varphi$  为应变量  $y$ ，则函数  $y = Qx$  为一斜率为  $Q$ ，通过原点的直线，而

$$\varphi = \operatorname{arctg} \left[ Q \left( \frac{\omega}{\omega_0} - \frac{\omega_0}{\omega} \right) \right]$$

$\varphi$  随  $\left( \frac{\omega}{\omega_0} - \frac{\omega_0}{\omega} \right)$  的变化曲线如图 3-10-7 所示。

#### 4、幅频特性的测试方法

这是研究回路电流  $I$  与频率  $f$  的关系，以 RC 串联电路为例，如图 3-10-8，S 为低频信号发生器，R 为可变电阻箱，C 为可变电容箱，V 为交流毫伏表，K 为单刀双掷开关，f 为数字频率计。

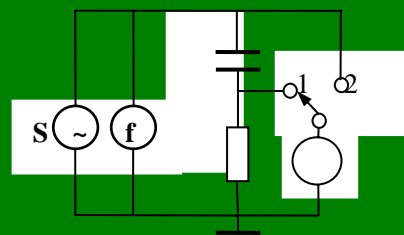
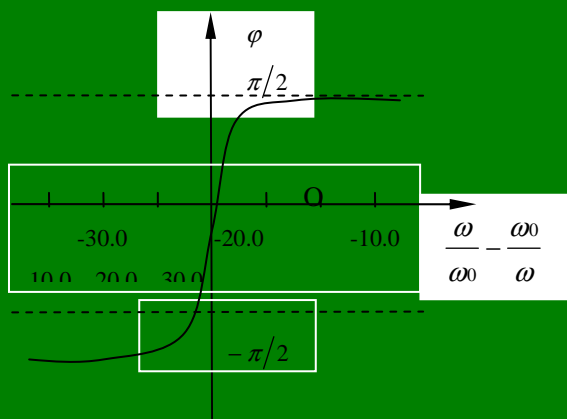


图 3-10-7 RLC 串联电路的相频曲线图 图 3-10-8 RC 幅频测试电路图

当开关接到“2”时，交流电压表测量 S 的输出电压有效值，调节 S 的输出幅度，保持在各种频率测量时，U 严格恒定。当开关接到“1”时，交流电压表测量的是 R 两端的电压  $U_R$ 。取不同的频率值，U 保持不变，测出各种频率时的  $U_R$  值，并算出 I 值。取 f 为横坐标，I 或  $U_R$  为纵坐标，就可绘出 RC 电路的电流或电阻两端电压与频率的特性曲线，简称 RC 电路的电流幅频特性曲线。

如果要测 RC 电路中电容两端的电压与频率之间的关系，可将图 3-10-8 中 R 与 C 的位置相互对换进行类似上面的测量。

### 5、相频特性的测试方法

这是研究回路电压 U 对回路电流 I 的相位和频率的关系，由于电阻 R 两端电压  $U_R$  和通过的电流 I 的相位总相同，因而可以用  $U_R$  代替 I 去和 U 比较相位。

#### (1) 用双踪示波器去比较测量

若要测量 RC 电路中回路电压对回路电流的相位和频率的关系，可按图 3-10-9 的测量电路接线。双踪示波器的两个信号输入端  $Y_A$ 、 $Y_B$  分别与电阻 R 和信号发生器 S 的输出端相连，此外为了使示波器的水平扫描完全与  $Y_A$ 、 $Y_B$  信号同步来测量两信号的相位差，S 输出还要与示波器的“外触发”端钮相连，并且将“触发”选择旋扭转到“外”的位置。选择开关用来对示波器工作状态进行选择，当指示“交替”时，表示双踪的工作状态是在一个扫描时间内  $Y_A$  与  $Y_B$  通过的信号交替通过电子交换器，在荧光屏上同时显出两个波形，如图 3-10-10 (a) 所示。当指

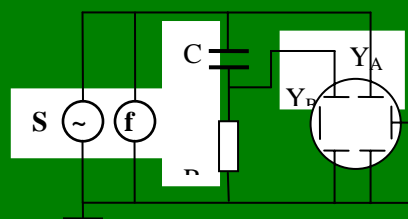


图 3.10-9 相位差与频率关系测量

示波器的水平扫描完全与  $Y_A$ 、 $Y_B$  信号同步来测量两信号的相位差，S 输出还要与示波器的“外触发”端钮相连，并且将“触发”选择旋扭转到“外”的位置。选择开关用来对示波器工作状态进行选择，当指示“交替”时，表示双踪的工作状态是在一个扫描时间内  $Y_A$  与  $Y_B$  通过的信号交替通过电子交换器，在荧光屏上同时显出两个波形，如图 3-10-10 (a) 所示。当指



示“断续”时，在一个扫描时间内  $Y_A$ 、 $Y_B$  信号分别通过电子交换器  $n$  次，因此在示波器荧光屏上显示两个断续光点的波形，通常适用于测量低频信号，如图 3-10-10 (b) 所示。调节二波形的竖直位置使  $x$  轴重合，参照图 3-10-10 (a) 测量  $T$  及  $\Delta t$  的

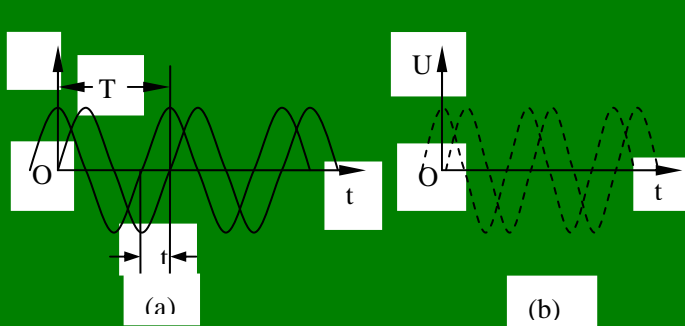


图 3-10-10  $U_R$   $U$  的波形图

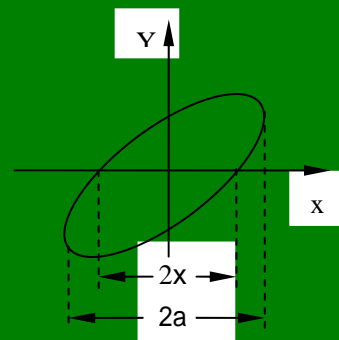


图 3-10-11  $U_R$   $U$  的合成图

对应格数  $n(T)$  及  $n(\Delta t)$ ，则相位差  $\Delta\varphi$  (以弧度为单位) 为

$$\varphi = 2\pi \times n(\Delta t) / n(T)$$

根据上面的方法，可选不同频率的正弦波输出，测得对应的相位差，以频率  $f$  为横坐标，相位差  $\Delta\varphi$  为纵坐标，就可画出 RC 电路的电流与外加电压  $U$  之间相位差和频率的关系曲线，简称相频曲线。

如果图 3-10-9 中的电容器改用电感线圈  $L$ ，就可用来测量 RL 电路的相频特性。如果在  $C$  和  $R$  中间再串一只线圈  $L$ ，就可用来测量 RLC 电路的相频特性，这里指的相频是总电压和电路中的电流之间的相位差和频率的关系。

### (2) 用通用示波器去比较测量

将  $U_R$  和  $U$  分别接到示波器的 X、Y 输入端，扫描旋钮选择调离扫描档，则显示如图 3-10-11 的椭圆，参照此图测量  $2a$  和  $2x$  对应的格数  $n_a$ 、 $n_x$ ，则相位差

$$\varphi = \arcsin\left(\frac{n_x}{n_a}\right) \quad (3-10-15)$$

测量不同频率的  $\Delta\varphi$  值，作  $\Delta\varphi - f$  曲线。

## 实验内容

1、测作 RC 串联电路幅频、相频曲线。参照图 3-10-8 接电路，取

$R = 200.0\Omega, C = 0.4700\mu F$  , 在测量不同  $f$  的  $U_R$  时, 必须使  $U$  值保持恒定 (例如取  $U=1.00V$ ), 频率  $f$  从 500, 1200, 1700, 2000, 3000, 5000Hz 之间变化。记录下各个频率下对应的  $U_R, U_C$ , 以及李萨如图形中的  $2x_0, 2x$  的大小。作  $I-f$  幅频特性曲线或  $U_R-f$  曲线。按照同样方法测量和描绘  $U_C-f$  特性曲线。表格如下:

f (Hz)	500	1200	1700	2000	3000	5000
$U_R(V)$						
$U_C(V)$						
$\frac{2x_0(cm)}{2x(cm)}$						
$\varphi(度)$						

## 2、测作 RL 串联电路幅频、相频曲线

测量  $U_L-f$  特性曲线, 取  $L = 0.100H, R = 1000.0\Omega$ , 电路自行设计。

## 5、测作 RLC 串联电路幅频、相频曲线

参照图 3-10-9 在电容器  $C$  的下面串接一电感。测量分 2 步进行:

第一步: 用李萨如图形找出谐振频率 (提示: 当出现直线李萨如图时)。

第二步: 在  $f$  分别取 350, 600, 700, 780, 900, 1500Hz 的条件下, 测出相应的  $\varphi$

注意, 凡是  $U_{总}$  超前  $U_R$ ,  $\varphi$  取“+”, 相反则取“-”。根据测量值以  $(\frac{f}{f_0} - \frac{f_0}{f})$  为

自变量  $x$ , 作  $\varphi - (\frac{f}{f_0} - \frac{f_0}{f})$  曲线图。

### 思考题

- 1、测定两正弦波的相位差 ( $U_{总}$  与  $U_R$ ) 与示波器的 X 轴扫描速率有何关系?
- 2、在 RC 串联电路中如何测量  $U_C$  和  $I$  的相位差, 试画出线路图, 并加以说明。
- 3、在比较两正弦波的相位差时, 它们的零电势线是否要一致?

4、如何判断 RLC 串联电路中 U 和 I 之间的相位差是超前还是落后？又怎样确定电路是呈电感性还是呈电容性？

5、试设计频率为 1000Hz， $U_{总}$  与 I 的相移为  $45^\circ$  的相移器，并画出测试电路图。

6. 如何理解电容具有“低频开路，高频短路”、电感具有“低频短路，高频开路”的意义

7. 试分析在 R L 串联的稳态特性实验中，若电源频率取较低值时测量结果与理论值偏差较大的原因

[附录]

表 3-10-1 电路元件的阻抗

电路元件	$Z = R + jX =  Z e^{j\phi} (\Omega)$			
	R	jX	Z	$\phi$
R	R	0	R	0
L	0	$j\omega L = jX_L$	$\omega L$	$\frac{\pi}{2}$
C	0	$\frac{1}{jC\omega} = -jX_c$	$\frac{1}{C\omega}$	$-\frac{\pi}{2}$

表 3-10-2 串联电路的阻抗

电路种类	$Z = R + jX (\Omega)$	$ Z  = \sqrt{R^2 + X^2} (\Omega)$	$\phi = \tan^{-1}(\frac{X}{R})(rad)$
$R_1, R_2$	$R_1 + R_2$	$R_1 + R_2$	0
$L_1, L_2$	$j\omega(L_1 + L_2)$	$\omega(L_1 + L_2)$	$\frac{\pi}{2}$
$C_1, C_2$	$-j\frac{1}{\omega}(\frac{C_1 + C_2}{C_1 \times C_2})$	$\frac{1}{\omega}(\frac{C_1 + C_2}{C_1 \times C_2})$	$-\frac{\pi}{2}$
R, L	$R + j\omega L$	$\sqrt{R^2 + \omega^2 L^2}$	$\tan^{-1} \frac{\omega L}{R}$
R, C	$R - j\frac{1}{C\omega}$	$\sqrt{\frac{\omega^2 C^2 R^2 + 1}{\omega^2 C^2}}$	$-\tan^{-1} \frac{1}{\omega CR}$
L, C	$j(\omega L - \frac{1}{C\omega})$	$ \omega L - \frac{1}{C\omega} $	$\pm \frac{\pi}{2}$

$R, L, C$	$R + j(\omega L - \frac{1}{C\omega})$	$\sqrt{R^2 + (\omega L - \frac{1}{C\omega})^2}$	$\tan^{-1}(\frac{\omega L - \frac{1}{C\omega}}{R})$
-----------	---------------------------------------	---	---